

# Obtenção de Modos Complexos Através da Propagação de Feixes em Distância Imaginária

José P. da Silva e H. E. Hernández-Figueroa

**Resumo** — Neste trabalho, o método dos elementos finitos em conjunto com o método da propagação de feixes (BPM), é aplicado para obtenção de modos complexos através da distância imaginária. Estes modos surgem, quando os meios apresentam perdas ( $\epsilon$  complexo), ou em meios sem perdas, que se caracterizam por possibilitar a propagação de modos de fuga. Para esta situação o BPM é modificado com o propósito de compensar a atenuação do campo ao longo da direção de propagação.

**Palavras-chaves** — Elementos finitos, método da propagação de feixe (BPM), modos complexos e distância imaginária.

## I. INTRODUÇÃO

Durante as últimas décadas, um considerável esforço tem sido empenhado para simular de maneira eficiente e precisa a propagação de ondas eletromagnéticas ao longo de guias de onda ópticos. Uma das técnicas mais usadas é o método da propagação de feixes (BPM-*Beam Propagation Method*). Entre os métodos numéricos usados para analisar a seção transversal de guias de onda discretizados, ele é um dos mais estáveis e apresenta uma performance superior quando usado em conjunto com método dos elementos finitos (FE-BPM). Recentemente, alguns trabalhos publicados na literatura, [1]-[2], exploraram a propagação de feixes ópticos através da distância imaginária usando formulações baseadas no método dos elementos para meios isotrópicos. Neste trabalho a formulação vetorial apresentada por *Da Silva et al* [3], baseada no método dos elementos finitos em conjunto com métodos da propagação de feixes (BPM), é aplicada para obtenção de modos complexos através da distância imaginária. Neste caso, faz-se necessário uma modificação no Método BPM [3], tal que a atenuação, ao longo da direção de propagação, seja compensada. Os modos complexos surgem quando os meios apresentam perdas ( $\epsilon$  complexo), ou em meios sem perdas, quando considera-se um perfil de índice refração como o mostrado da Fig. 1 [4]. Este Perfil caracteriza-se por apresentar uma depressão entre a camada de GaAs (região de guiamento) e o substrato, a qual é característica para estes tipos de guias e provoca a presença de modos guiados com autovalores complexos, chamados de modos de fuga.

[patroc@ceset.unicamp.br](mailto:patroc@ceset.unicamp.br), Tels. +55-19-34047166, Fax. +55-19-34047292. Centro Superior de Ensino Tecnológico, Divisão de Telecomunicações, UNICAMP. Rua. P. Marmo, 1888, CEP: 13484-370, Jar. Nova Itália, Limeira-SP. [hugo@dmo.fee.unicamp.br](mailto:hugo@dmo.fee.unicamp.br), Tel +55-19-34047139, Dep. de Microondas e Óptica -Faculdade de Engenharia Elétrica e Computação -UNICAMP, Campinas - SP.

## II. FORMULAÇÃO

Partindo das equações de Maxwell, a equação de duplo rotacional de Helmholtz para o campo magnético é obtida,

$$\nabla \times (\bar{\bar{k}} \nabla \times \vec{H}) - k_0^2 \vec{H} = 0 \quad (1)$$

onde  $\bar{\bar{k}} = 1/\bar{\bar{\epsilon}}$ , sendo  $\bar{\bar{\epsilon}}$  o tensor permissividade relativa. Em adição,  $k_0$  é o número de onda no espaço livre e  $\nabla$  é definido como,

$$\nabla = \hat{u}_x \alpha_x \frac{\partial}{\partial x} + \hat{u}_y \alpha_y \frac{\partial}{\partial y} + \hat{u}_z \alpha_z \frac{\partial}{\partial z} = \nabla_T + \hat{u}_z \alpha_z \frac{\partial}{\partial z} \quad (2)$$

onde,  $\alpha_x$ ,  $\alpha_y$ , e  $\alpha_z$ , são parâmetros da PML. Considerando que as ondas sejam assumidas para se propagarem na direção  $z$ , o parâmetro  $\alpha_z$  é sempre igual à unidade. Os demais parâmetros da PML podem ser determinados de tal forma que a impedância de onda possa ser contínua através das interfaces formada entre o domínio computacional interno e a PML, isso permite o casamento perfeito da onda sobre suas interfaces, permitindo a redução do domínio computacional sem causar reflexões. De acordo com [3] os parâmetros da PML são especificados pelo parâmetro  $S$  dado por,  $S = 1 - j(3c/2\omega_0 nd)(\rho/d)^2 \ln(1/R)$  onde  $\omega_0$  é a frequência angular,  $d$  é a espessura da PML,  $n$  é o índice de refração do meio adjacente,  $\rho$  é distância da região com PML's a interface interna do domínio computacional e  $R$  é coeficiente de reflexão. A seguir, a variação rápida do campo magnético é removida escrevendo,  $\vec{H}(x, y, z) = \vec{h}(x, y, z) e^{-jk_0 \beta_z z}$ , onde  $\beta_z$  é a constante de propagação de referência e  $\vec{h}(x, y, z) = \vec{h}_T(x, y, z) + \vec{h}_z(x, y, z)$  é porção de variação lenta do campo magnético. Onde,  $\vec{h}_T = h_x \hat{u}_x + h_y \hat{u}_y$  e  $\vec{h}_z = h_z \hat{u}_z$  representam a componente de campo magnético transversal (lento) e a componente axial, respectivamente. Em adição, usando a condição de divergente do campo,  $\nabla \cdot \vec{H} = 0$ , o qual, permite escrever,  $h_z = (\nabla_T \cdot \vec{h}_T + \partial h_z / \partial z) / \gamma$ , onde,  $\gamma = jk_0 \beta_z$ , depois de algumas manipulações algébricas, o campo axial em (1) pode ser efetivamente eliminado, obtendo-se a equação onda vetorial em termos da componente transversa (lenta) do campo magnético, dada por:

$$\bar{\bar{k}}_a \frac{\partial^2 \vec{h}_T}{\partial z^2} - 2\gamma \bar{\bar{k}}_a \frac{\partial \vec{h}_T}{\partial z} - \bar{\bar{k}}_b \nabla_T (\nabla_T \cdot \vec{h}_T) - \nabla_T \times k_{zz} \nabla_T \times \vec{h}_T + \left( \bar{\bar{k}}_c + \gamma^2 \bar{\bar{k}}_a \right) \vec{h}_T = 0 \quad (3)$$

Os tensores transversais em (3) são definidos [3]. A seguir, aplicando o método dos elementos finitos para variação transversal de (3), o domínio da seção transversal  $\Omega$  é dividido em  $Nel$  triângulos, produzindo  $Np$  nós desconhecidos. Introduzindo um arranjo de funções de base (polinomiais lagrangianas de primeira ou segunda ordem),  $\{\psi_j\}$ ,  $j=1, \dots, Np$ ;  $\vec{h}_T(x, y, z)$  Essa expansão, a qual define o já conhecido processo de discretização  $FE$ , leva a um problema matricial do tipo,

$$[M] \frac{\partial^2 \{\vec{h}_T\}}{\partial z^2} - 2\gamma[M] \frac{\partial \{\vec{h}_T\}}{\partial z} + ([K] + \gamma^2[M]) \{\vec{h}_T\} = \{0\} \quad (4)$$

onde  $\{\vec{h}_T\}$  representa um vetor coluna contendo valores desconhecidos de  $h_{xj}$  e  $h_{yj}$ ,  $\{0\}$  é um vetor coluna nulo, e  $[M]$  e  $[K]$  são matrizes globais definidas em [3].

Seguindo [5], a aproximação de Padé (1,1), pode ser facilmente aplicada em (4), obtendo-se uma equação matricial, dada por:

$$[\tilde{M}] \frac{d\{\vec{h}_T\}}{dz} + [K]\{\vec{h}_T\} = \{0\} \quad (5)$$

com,  $[\tilde{M}] = [M] - (1/4\gamma^2)([K] + \gamma^2[M])$ . Finalmente, aplicando o esquema de avanço de diferenças finitas ( $\theta$ ) em (5) pode-se escrever:

$$([\tilde{M}] + \theta\Delta z[K])\{\vec{h}_T\}(z + \Delta z) = ([\tilde{M}] - (1 - \theta)\Delta z[K])\{\vec{h}_T\}(z) \quad (6)$$

onde,  $\Delta z$  é o tamanho do passo de propagação e  $\theta$  é introduzido para o controle de estabilidade do método. A faixa de estabilidade para o algoritmo de propagação corresponde a  $0.5 \leq \theta \leq 1$ . Para  $\theta=0.5$  tem-se o algoritmo de Crank-Nicholson.

Para adaptar a formulação descrita acima, ao esquema de propagação através da distância imaginária, assumimos que existem  $m$  modos no guia de onda. Desta forma, podemos considerar que o índice de refração efetivo do  $k$ -ésimo autovalor é  $n_{ef,k}$ , que o campo correspondente é  $\{f_k\}$  e que a equação para o autovalor pode ser escrita da seguinte forma [2]:

$$[K]\{f_k\} = k_0^2 n_{ef,k}^2 [M(z)]\{f_k\} \quad (7)$$

Após vários passos de propagação, de (6) tira-se que a distribuição de campo do  $k$ -ésimo autovalor pode ser obtida por [6]:

$$\{f_k\}_{i+1} = \frac{[\tilde{M}(z)] + \theta\Delta z k_0^2 (n_{ef,k}^2 - n_0^2)}{[\tilde{M}(z) - (1 - \theta)\Delta z k_0^2 (n_{ef,k}^2 - n_0^2)]} \{f_k\}_i \quad (8)$$

Quando  $m$  autovalores, incluindo os modos de radiação, existem em um guia de onda, o campo  $\{\vec{h}_T\}_i$ , para o  $i$ -ésimo passo de propagação, pode ser expresso por:

$$\{\vec{h}_T\}_i = \sum_{k=1}^m A_{k,i} \{f_k\} \quad (9)$$

onde  $A_{k,i}$  representa a amplitude complexa do  $k$ -ésimo autovalor para o  $i$ -ésimo passo de propagação.

A propagação de modos com autovalores complexos, considerando  $\Delta z \in \mathfrak{R}$ , provocará uma atenuação do modo propagante ao longo da direção de propagação, o que impossibilitaria a obtenção dos modos de fuga. Para resolver este problema, é necessário considerar que  $\Delta z \notin \mathfrak{R}$  e, de acordo com análise feita em [6], o passo de propagação pode ser dado por:

$$\Delta z = j \frac{4n_0}{(n_{ef,k}^2 - n_0^2)k_0^2} \quad (10)$$

Desta forma, para um dado número de passos de propagação,  $i$ , suficientemente grande,  $\{\vec{h}_T\}$  converge para o  $k$ -ésimo autovalor  $\{f_k\}$  [3]. O índice efetivo deste autovalor,  $n_{ef,k}$ , é atualizado a cada passo de propagação através da seguinte equação [6]:

$$n_0^2(z) = \text{Re} \left[ \frac{\{\vec{h}_T(z)\}^\dagger [K(z)] \{\vec{h}_T(z)\}}{k_0^2 \{\vec{h}_T(z)\}^\dagger [M(z)] \{\vec{h}_T(z)\}} \right] \quad (11)$$

Onde  $\dagger$  representa o complexo conjugado e transposto.

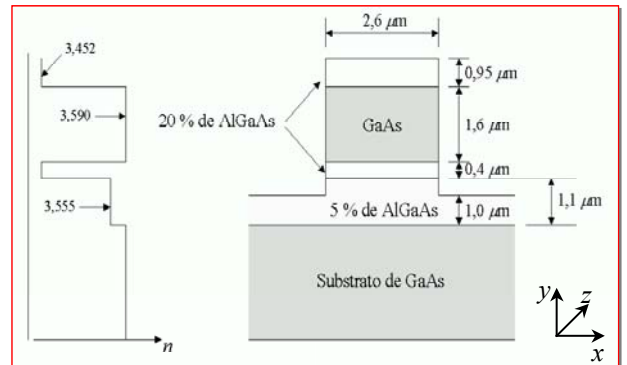


Fig. 1. Perfil de índice de refração e seção transversal de um guia de onda vazante.

### III. RESULTADOS

Neste trabalho, consideramos que o índice de refração desejado é desconhecido no início da propagação. Desta forma, para determinar o passo inicial de propagação  $\Delta z$ , o maior índice de refração da região de guiamento foi tomado como aproximação inicial. Após alguns cálculos iterativos, usando este  $\Delta z$ , calculamos a diferença entre o passo do índice efetivo atual e o do passo anterior; quando essa diferença ficou da ordem de  $10^{-3}$ , usou-se o  $n_{ef,k}$  para o cálculo de  $\Delta z$ .

O valor do índice de refração de referência,  $n_0$ , pode ser escolhido de forma arbitrária. Nesta simulação, usou-se o menor valor dos índices de refração presentes na estrutura; com esta escolha, a propagação ocorrerá pra uma distância imaginária positiva [2]. A estrutura analisada é um guia vazante 2D, Fig. 1. Os índices de refração considerados foram 3,452 para 20% AlGaAs, 3,555 para 5% AlGaAs e

3,590 para o GaAs, operando em um comprimento de onda  $\lambda = 1,064 \mu\text{m}$ . A estrutura está imersa em uma região com índice de refração igual a unidade (ar) rodeada por PMLs com  $1 \mu\text{m}$  de espessura e coeficiente de reflexão da ordem de  $10^{-5}$ . A janela computacional considerada foi de  $15 \mu\text{m}$  (direção  $x$ ) x  $5 \mu\text{m}$  (direção  $y$ ), coberta por 8.431 elementos lineares. Para acelerar o processo de convergência substituiu-se, na análise modal [1], o índice de refração do substrato por 5% de AlGaAs. Com isso, o campo propagado foi aquele proveniente da análise modal, propagando-se na estrutura com índices mostrados na Fig. 1. As Fig. 2, Fig 3 e Fig. 4, mostram as distribuições de campo para componente  $h_y$ , para os modos  $H_{11}^y$ ,  $H_{12}^y$  e  $H_{13}^y$ , respectivamente.

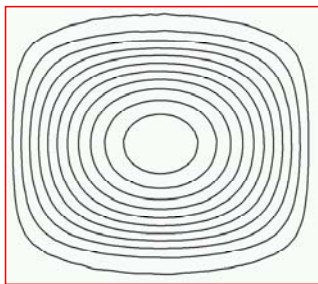


Fig. 2. Distribuição de campo magnético, componente  $y$ , para o modo  $H_{11}^y$ .

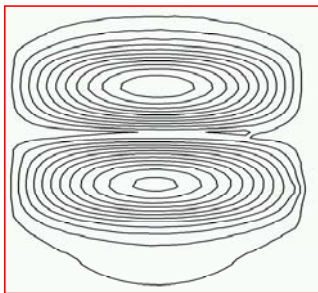


Fig. 3. Distribuição de campo magnético, componente  $y$ , para o modo  $H_{12}^y$ .

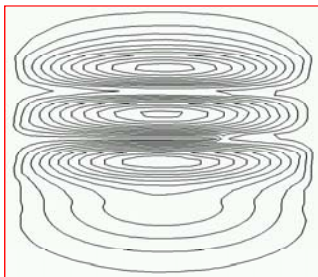


Fig. 4. Distribuição de campo magnético, componente  $y$ , para o modo  $H_{13}^y$ .

A tabela I apresenta uma comparação entre os resultados obtidos neste trabalho e os resultados apresentados nas referências [2] e [3]. Observa-se que os valores da parte imaginária, obtidos neste trabalho, diferenciam de aproximadamente 5 % com relação aos valores da literatura [3]. Isso ocorre devido à parte imaginária do modo complexo ser muito sensível, principalmente ao ajuste dada malha.

TABELA I  
COMPARAÇÃO DE RESULTADOS ENTRE, ESTE TRABALHO (FE-DI-VBPM) E RESULTADOS MOSTRADOS NAS REF. [1] E [2].

Modo	FE-DI-VBPM	Ref. [1]	Ref. [2]
$H_{11}^y$	(3,574312 - j1,593 x10 <sup>-7</sup> )	(3,573733 - j1,692 x10 <sup>-7</sup> )	(3,573795 - j1,712x10 <sup>-7</sup> )
$H_{12}^y$	(3,543312 - j5,393 x10 <sup>-5</sup> )	(3,54067 - j5,739 x10 <sup>-5</sup> )	(3,543225 - j5,569x10 <sup>-5</sup> )
$H_{13}^y$	(3,500212 - j9,301x10 <sup>-4</sup> )	(3,493831 - j9,179x10 <sup>-4</sup> )	(3,494256 - j8,831 x10 <sup>-4</sup> )

#### IV. CONCLUSÕES

Neste trabalho, o método dos elementos finitos em conjunto com o método da propagação de feixe (BPM), foi aplicado na obtenção de modos complexos através da distância imaginária. O guia de onda utilizado foi do tipo vazante 2D, na qual o perfil de índice de refração do guia favorece o surgimento de modos de fuga. Os resultados obtidos foram comparados aos resultados da literatura, apresentando uma boa concordância.

#### REFERÊNCIAS

- [1] S. S. A. Obayya, B. M. A. Rahman, K. T. V. Grattan e H. A. El-Mikati, "Full vectorial finite-element based umaginary distance beam propagation solution of complex modes in optical waveguides", *Journal Lightwave Technology*, Vol. 20, No. 6, pp.1054-1060, Junho 2002.
- [2] S. Selleri, L. Vincetti, A. Cicinota e D. M. Zoboli, "Complex FEM modal solver of optical waveguides with PML boundary conditions", *Opt. Quantum Electron*, vol. 33, pp. 339-371, 2001.
- [3] J. P. da Silva, H. E. Hernández-Figueroa and A. M. F. Frasson "Improved Vectorial Finite-Element BPM Analysis for Transverse Anisotropic Media", *IEEE Journal Lightwave Technology*, Vol. 21, No. 02, pp. 567-576, February 2003.
- [4] H. E. Hernández-Figueroa, F. A. Fernández, Y. Lu e J. B. Davies, "Vectorial finite element modeling of 2D leaky waveguides", *IEEE Trans. Magn.*, vol. 33, No. 4, pp.1710-1713, Maio. 1995.
- [5] G. R. Hadley, "Wide-angle beam propagation using Padé approximation method", *Optics Letters*, Vol. 17, No. 10, pp. 1426-1428, October 1992.
- [6] Y. Tsuji a M. Kosiba., "Guided-mode and Leaky-mode analysis by imaginary distance beam propagation method on finite element scheme", *IEEE Journal of Lightwave Technology*, vol. 18, pp. 618-623, Abril. 2000.